

**EL NIÑO/OSCILACIÓN DEL SUR (ENSO por sus siglas en inglés)
DISCUSIÓN DIAGNÓSTICA
emitida por el**

**CENTRO DE PREDICCIONES CLIMÁTICAS/NCEP/NWS
y el Instituto Internacional de Investigación para el Clima y la Sociedad
Traducción cortesía del: NWS-WFO SAN JUAN, PUERTO RICO
10 de julio de 2014**

Estatus del Sistema de alerta del ENSO: Vigilancia de El Niño

Sinopsis: La probabilidad de tener un evento de El Niño es de aproximadamente un 70% para el verano del Hemisferio Norte y aumenta a casi un 80% durante el otoño y temprano el invierno.

Durante el mes de junio del 2014, las temperaturas sobre el promedio en la superficie del océano (SST, por sus siglas en inglés) fueron más prominentes a través del este del Pacífico ecuatorial pero debilitándose cerca de la línea de fecha internacional (Fig. 1). Este debilitamiento fue reflejado en un descenso a +0.3°C en el índice de Niño-4 (Fig. 2). El índice de Niño-3.4 se mantuvo alrededor de +0.5°C a través del mes, mientras que el índice en el extremo este del Niño-3 y Niño-1+2 están a +1.0°C o mayor. Las anomalías del contenido calórico de la subsuperficie (promedio entre 180°-100°W) han disminuido significativamente desde tarde en marzo del 2014 y ahora están cerca del promedio (Fig. 3). Sin embargo, las temperaturas de la subsuperficie (hasta 100m de profundidad) han permanecido sobre el promedio en la mitad este del océano Pacífico (Fig. 4). Los vientos en los niveles bajos y altos permanecieron cerca del promedio sobre el Pacífico tropical, exceptuando las anomalías de los vientos del oeste en los niveles bajos en el este del Pacífico. La convección aumentó cerca y justo al oeste de la línea de fecha internacional y sobre porciones de Indonesia (Fig. 5). Continúa un ENSO-neutral debido a que la atmósfera no refleja una respuesta consistente a los cambios positivos de la SST.

Durante el pasado mes, los modelos para el pronóstico del ENSO no mostraron un cambio significativo, con la mayoría de los modelos indicando que se desarrollará El Niño entre junio y agosto, continuando hasta temprano el 2015 (Fig. 6). Las probabilidades de un evento de El Niño fuerte no son favorecidas por ninguno de los promedios de los grupos de modelos para El Niño-3.4. Hasta ahora, los pronosticadores anticipan que El Niño llegará a su punto máximo con una intensidad de leve a moderada tarde en el otoño y temprano en el invierno (valores de 3 meses del índice de Niño-3.4 entre 0.5°C y 1.4°C). La probabilidad de que se desarrolle El Niño es de aproximadamente 70% durante el verano del Hemisferio Norte y cerca de un 80% para el otoño y temprano en el invierno (oprima [CPC/IRI consensus forecast](#) para ver las probabilidades de cada resultado).

Esta discusión es un esfuerzo consolidado de la Administración Nacional Oceánica y Atmosférica (NOAA por sus siglas en inglés), el Servicio Nacional de Meteorología de NOAA y sus instituciones afiliadas. Las condiciones oceánicas y atmosféricas son actualizadas semanalmente en la página de Internet del Centro de Predicciones Climáticas ([Condiciones actuales de El Niño/La Niña y La Discusión de Expertos](#)). Los pronósticos para la evolución de El Niño/La Niña son actualizados mensualmente en la sección [Foro de Pronóstico](#) del Boletín de Diagnóstico Climático del Centro de Predicciones Climáticas (CPC por sus siglas en inglés). Adicionalmente, perspectivas y análisis adicionales están disponibles en el [blog del ENSO](#). La próxima Discusión Diagnóstica del ENSO está programada para el 7 de agosto de 2014. Para recibir una notificación por e-mail al momento en que la Discusión Diagnóstica del ENSO mensual esté disponible, favor enviar un mensaje a: ncep.list.ens0-update@noaa.gov.

Centro de Predicciones Climáticas
Centros Nacionales de Predicción Ambiental
NOAA / Servicio Nacional de Meteorología
College Park, MD 20740

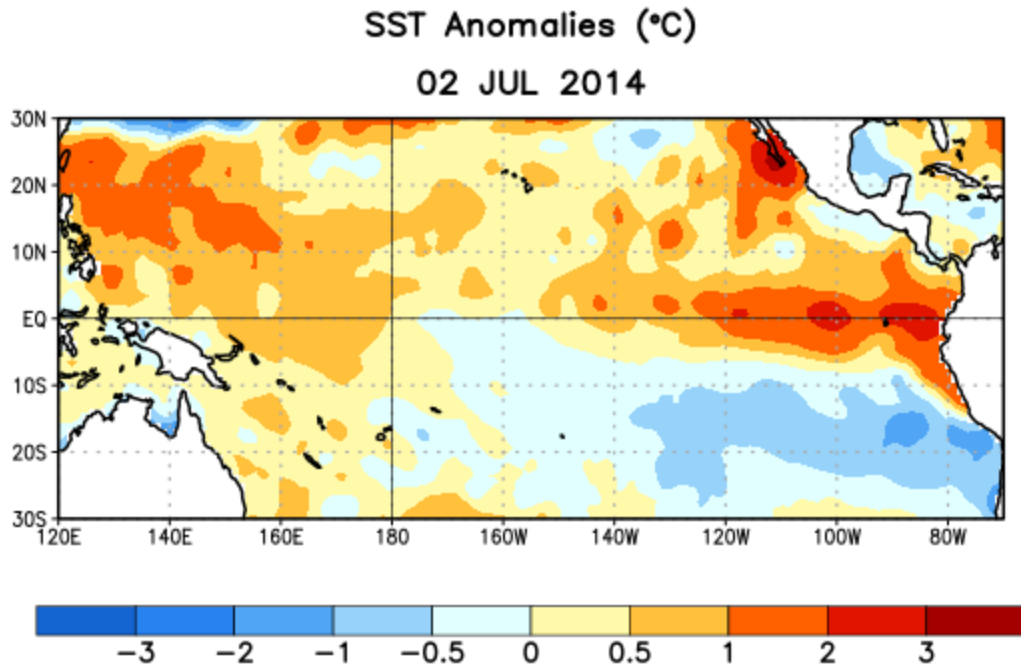


Figura 1. Anomalías (°C) promedio de la temperatura de la superficie del mar (SST, por sus siglas en inglés) para la semana centrada el 2 de julio de 2014. Las anomalías son calculadas utilizando como base de referencia los promedios semanales durante el periodo del 1981-2010.

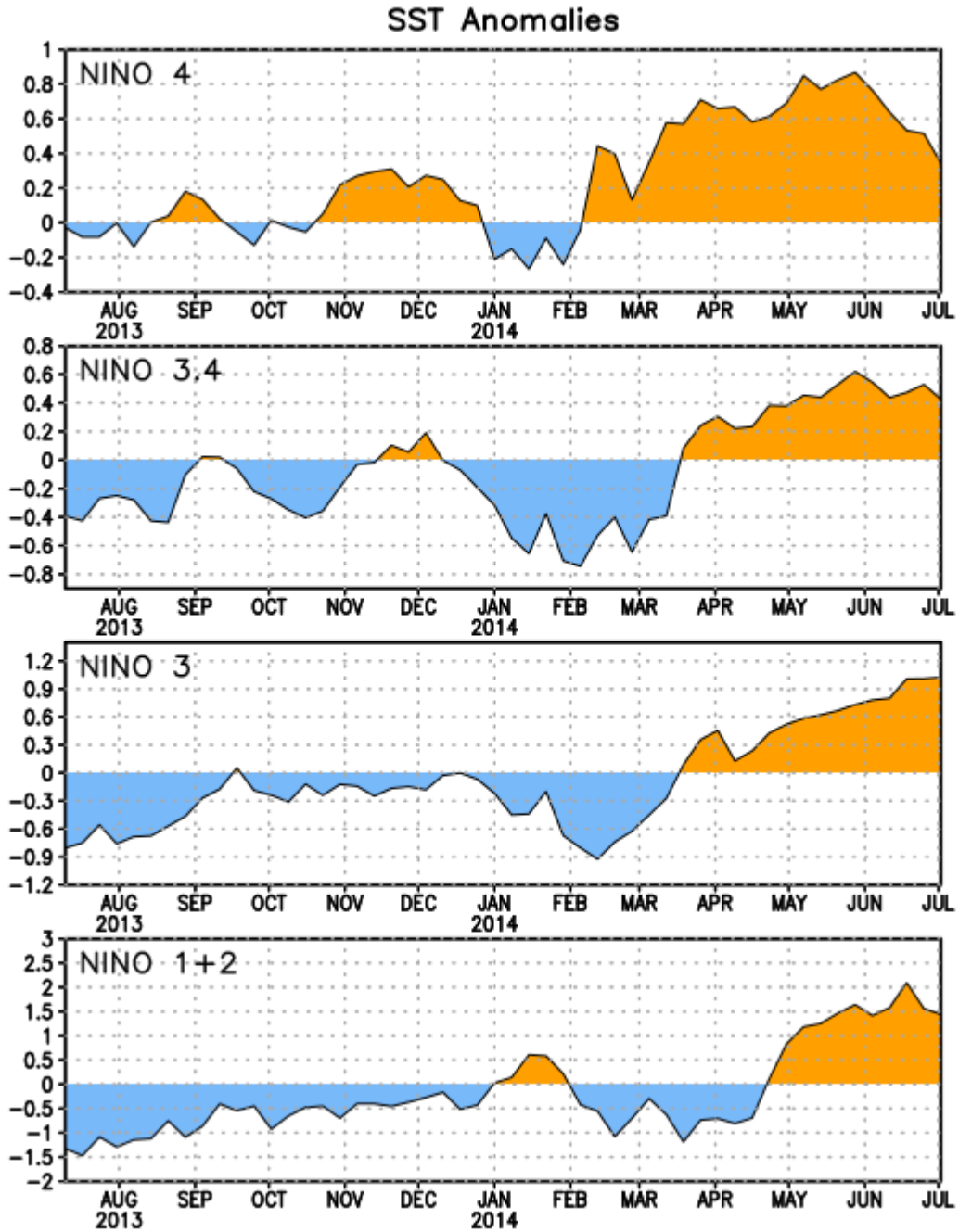


Figura 2. Series de Tiempo de las anomalías (en °C) de las temperaturas en la superficie del mar (SST) en un área promediada dentro de las regiones de El Niño [Niño-1+2 (0°-10°S, 90°W-80°W), Niño 3 (5°N-5°S, 150°W-90°W), Niño-3.4 (5°N-5°S, 170°W-120°W), Niño-4 (150°W-160°E y 5°N-5°S)]. Las anomalías de SST son variaciones de los promedios semanales del período base de 1981-2010.

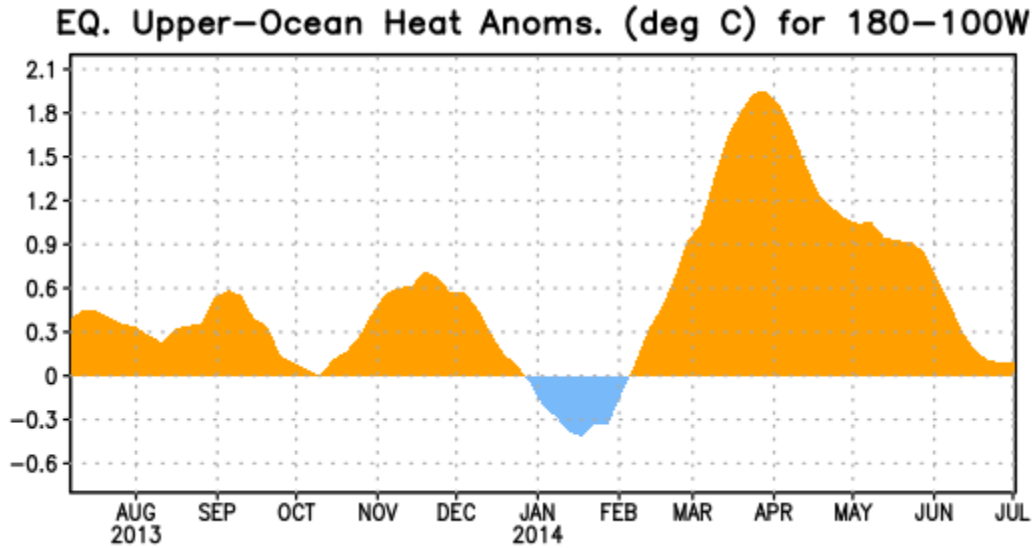


Figura 3. Anomalías del contenido calórico (en °C) en un área promediada del Pacífico ecuatorial (5°N-5°S, 180°-100°W). Las anomalías en el contenido calórico son calculadas como las desviaciones de los penta-promedios durante el período base de 1981-2010.

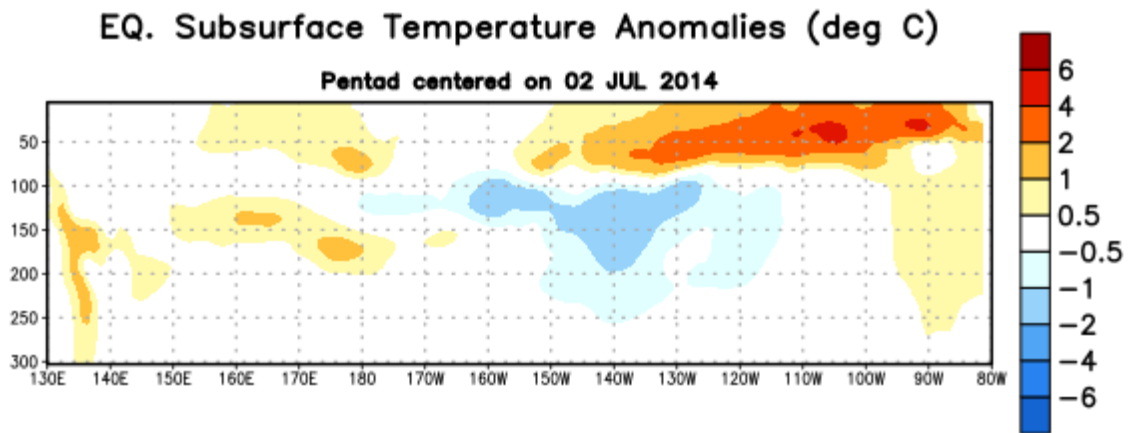


Figura 4. Anomalías de la temperatura (en °C) en un sector de profundidad-longitudinal (0-300m) en la parte superior del océano Pacífico ecuatorial, centradas en la semana de 2 de julio de 2014. Las anomalías son promediadas entre 5°N-5°S. Las anomalías son variaciones de los penta-promedios del período base de 1981-2010.

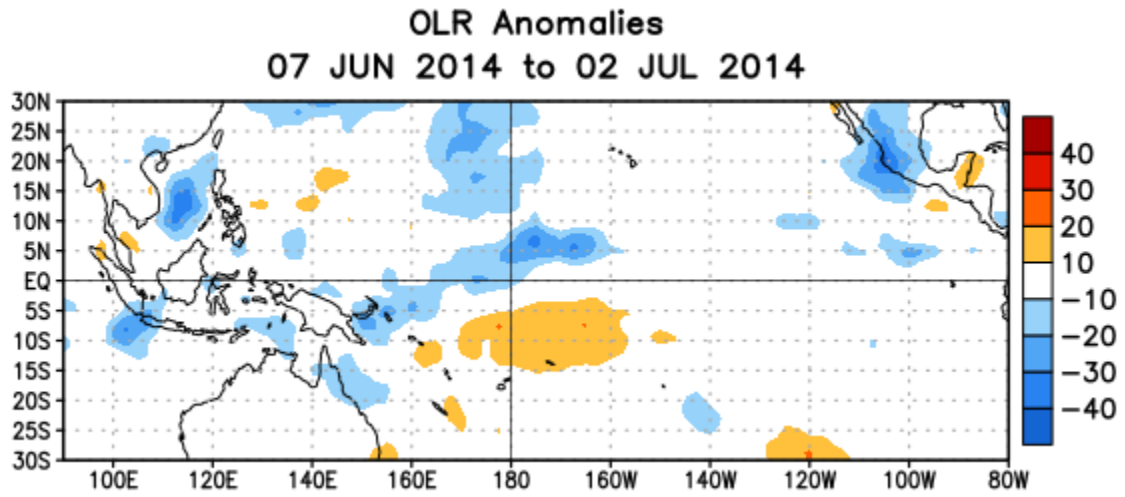


Figura 5. Anomalías de la radiación emitida de onda larga promedio (OLR, por sus siglas en inglés) (W/m^2) para el período del 7 de junio – 2 de julio de 2014. Las anomalías de OLR se calculan como desviaciones de los penta-promedios del período de 1979-1995.

Mid-Jun 2014 Plume of Model ENSO Predictions

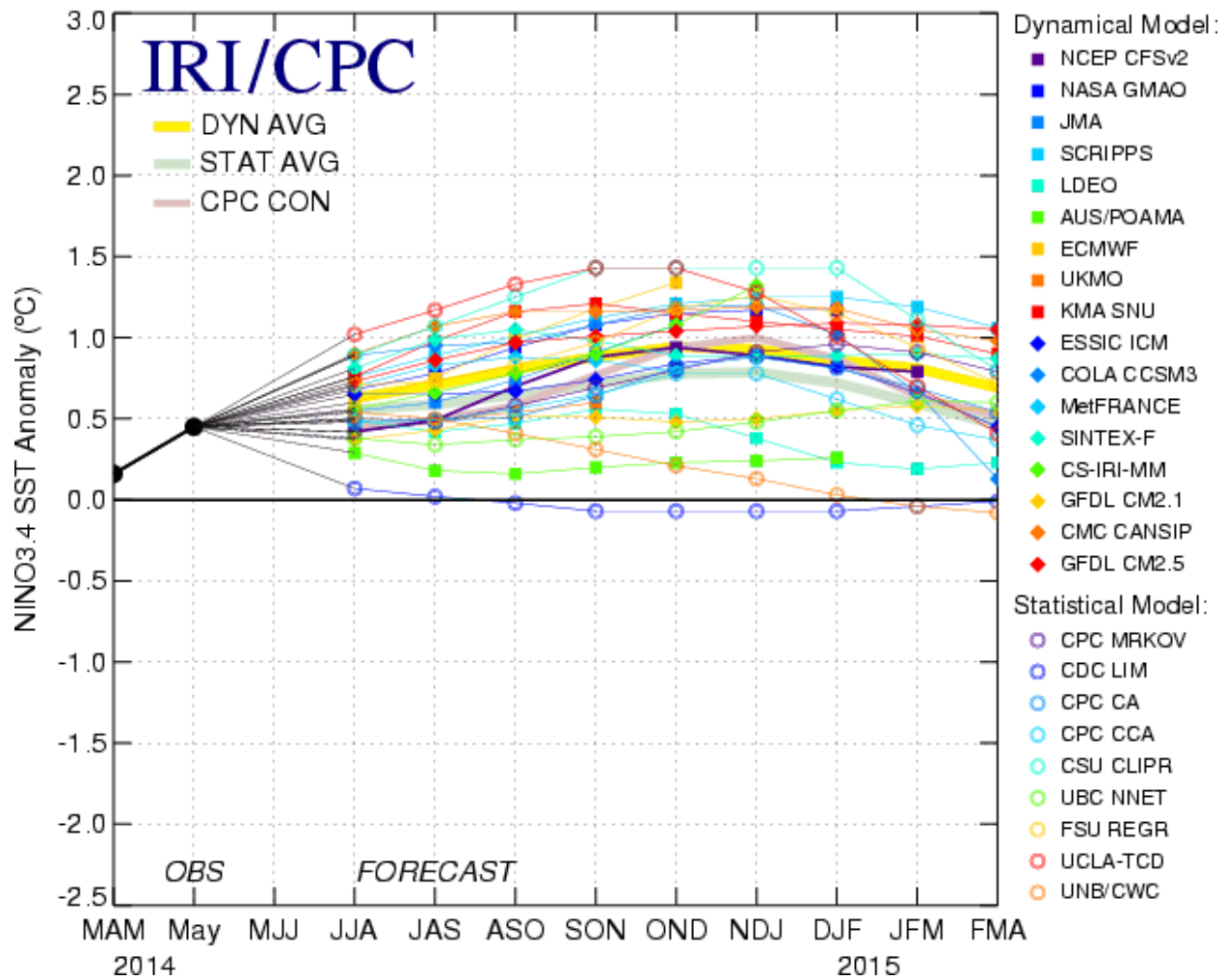


Figura 6. Pronósticos de las anomalías de la temperatura de la superficie del océano (SST) para la región de El Niño 3.4 (5°N-5°S, 120°W-170°W). Figura actualizada el 17 de junio de 2014.